

водорода. Также можно полагать, что водород в облученной стали взаимодействует с радиационными дефектами и удерживается ими.

(№ 637/6803. Поступила в Редакцию 3/III 1972 г. Полный текст 0,85 а. л., 4 рис., 4 табл., 13 библиографических ссылок.)

## Интегрально-счетный детектор $\gamma$ - и рентгеновского излучения

К. М. КУДЕЛИН, Л. Я. ЗАБРОДСКАЯ, В. П. ОДИНЦОВ

Описан детектор, в котором чувствительный элемент (монохристалл фтористого лития) применяется в двух качествах: в режиме интегрирования (измерения дозы) используется термolumинесценция, в режиме счета (измерения мощности дозы) — радиолюминесценция.

Диапазон измерений мощности дозы составляет 0,1—100  $\mu\text{рад}/\text{мин}$  и дозы 0,1—1000  $\mu\text{рад}$ . Изменение чувствительности в области энергии 25—1300  $\text{кэВ}$  не превышает  $\pm 8\%$ , что достигнуто путем частичного экрани-

УДК 621.387.46

рования кристалла. Данна расчетная оценка параметров фильтра.

Отсчет дозы производится по амплитуде термопика, максимум которого при  $140^\circ\text{C}$  наступает через 40 сек с момента включения питания нагревателя. При температуре не выше  $25^\circ\text{C}$  спад максимума термопика составляет не более 10% через 1 сутки и 30% через 10 суток.

(№ 638/6509. Поступила в Редакцию 13/VII 1971 г. Полный текст 0,45 а. л., 2 рис., 4 библиографических ссылок.)

## Дозное поле $\gamma$ -излучения над бесконечным плоским источником, разделенным неактивной полосой

Д. П. ОСАНОВ, М. Ю. ТИССЕН, В. Г. РЯДОВ

УДК 621.039.766:539.122

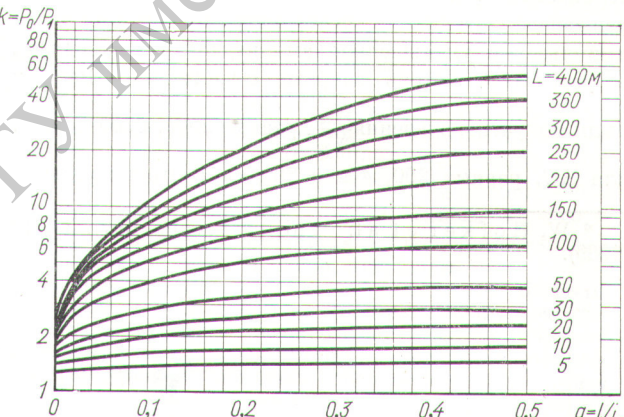
При загрязнении радиоактивными веществами больших территорий важное значение приобретает возможность использования дезактивированных полос, площадок и т. п. Примером дезактивированной полосы является проход для движения людей или транспорта, проделанный на загрязненной территории путем удаления поверхностного слоя почвы, или река, вода в кото-

Коэффициент  $k = P_0/P_2$  для точек над излучающей бесконечной полуплоскостью

Расстояние от края полосы $l$ , м	Ширина неизлучающей полосы $L$ , м				
	5	10	20	50	$\geq 100$
0	1,48	1,4	1,53	1,72	1,9
5	1,07	1,11	1,17	1,26	1,3
10	~ 1,0	1,06	1,40	1,17	1,2
20	~ 1,0	~ 1,0	1,06	1,1	1,1
$> 50$	~ 1,0	~ 1,0	~ 1,0	~ 1,0	~ 1,0

рой после загрязнения постепенно очищается. Кроме того, неактивная полоса может быть использована для целей радиационной разведки, когда по измеренной мощности экспозиционной дозы над искусственным проходом или рекой необходимо определить мощность дозы и плотность активности на загрязненной территории.

Для решения указанных задач найдены количественные соотношения между мощностью экспозиционной дозы над загрязненной территорией и неактивной полосой. При вычислениях использованы формулы, полученные ранее [1]. В окончательных результатах учтено многократное рассеяние  $\gamma$ -излучения в воздухе по методу, изложенному в работах [2, 3], и влияние границы раздела земля — воздух на основе данных, приведенных



Зависимость  $k = f(a)$  для полос различной ширины  $L$  ( $l$  — расстояние от края полосы до точки, над которой мощность дозы равна  $P_0$ ).

в [3, 4]. Все расчеты проведены для энергии  $\gamma$ -излучения 0,8 МэВ, соответствующей средней энергии  $\gamma$ -излучения продуктов мгновенного деления примерно 10-часового возраста. Результаты вычислений представлены в виде отношений мощности дозы  $P_0$  над бесконечной излучающей плоскостью к мощности дозы  $P_2$  в различных точках над неактивной полосой (см. рисунок) и к мощности дозы  $P_2$  в различных точках над активной полу бесконечной плоскостью, смежной с неактивной полосой (см. таблицу). Мощность дозы определялась в воздухе на высоте 1 м над поверхностью земли.

(№ 639/6627. Поступила в Редакцию 20/X 1971 г., в окончательной редакции — 10/IV 1972 г. Полный текст 0,5 а. л., 3 рис., 1 табл., 4 библиографических ссылки.)